

تحلیل تطبیقی اجزاء محدود به وسیله‌ی روش‌های تظریف h و توابع غنی‌ساز پوششی

حامد ارزانی*

(دانشجوی دکتری)

مهرداد قربانزاده (دانشجوی کارشناسی ارشد)

الهام خوشاورزاد (دانشجوی دکتری)

دانشکده‌ی مهندسی عمران، دانشگاه تربیت دبیر شهید رجایی

در نوشتار حاضر، روش‌های تظریف h و غنی‌سازی با استفاده از توابع درون‌باب پوشش برای اصلاح شبکه‌بندی و بهبود دقت جواب‌های مسائل کشسانی ارائه و به کمک برآورده‌کننده‌ی خطای ابتدا نواحی با خطای بیش از حد مجاز شناسایی شده‌اند. و سپس اصلاح شبکه‌بندی برای المان‌های موجود در نواحی مذکور، به وسیله‌ی روش تظریف h اعمال شده و بدین وسیله خطای حاکم بر کل حوزه‌ی مسئله کاهش یافته و در محدوده مجاز تعیین شده قرار گرفته است. در گام بعدی، به منظور بالا بردن دقت پاسخ‌ها در یک سطح عالی، نتایج به دست آمده از شبکه‌بندی تظریف شده باز دیگر بررسی و این باز گره‌های با خطای بالاتر از مقادیر خطای مجاز تعیین شدند. در این مرحله، روش ارائه شده با استفاده از توابع درون‌باب پوشش، نتایج موجود را اصلاح و پاسخ‌هایی با دقت مطلوب به دست داد. مقایسه‌ی جواب‌های حاصل از روش‌های پیشنهادی با روش‌های دیگر پژوهشگران و نیز جواب دقیق برای مثال‌هایی در حوزه‌ی کشسانی خطی، حکایت از کارایی دقت قبل قبول روش‌های پیشنهادی دارد.

h.arzani@sru.ac.ir
mehrshad.khaan@gmail.com
ekhoshbavarad@gmail.com

وازگان کلیدی: تظریف شبکه، اجزاء محدود غنی‌شده، تولید مش، توابع درون‌باب پوشش، تحلیل تطبیقی.

۱. مقدمه

شروع پیدایش، فقط برای حل تقریبی معادلات دیفرانسیل عادی استفاده و با عنوان الگوریتم‌های پیش‌بینی‌کننده - اصلاح‌کننده شناخته می‌شوند. رویکرد برآورده‌کننده‌های پس‌روندۀ خطای در روش اجزاء محدود برای معادلات دیفرانسیل بیضوی با شرایط مرزی، در سال ۱۹۸۶ آغاز شد.^[۱] به طور مشابه در سال ۱۹۸۷، براساس اصول بازیافت تنش، روش ساده‌ی برای تخمین خطای کالی و محلی در حل اجزاء محدود و شکلی ساده از آنالیز تطبیقی به روش افزایش تعداد المان ارائه شد.^[۲] تمامی روش‌های ارائه شده به دنبال اصلاح موضوعی حوزه‌ی مورد بررسی هستند. به عبارت دیگر، به جای تمام حوزه‌ی مسئله، فقط در زیرحوزه‌هایی که شدت ناپیوستگی در پاسخ آن‌ها زیاد است، از المان‌های کوچک‌تر استفاده می‌شود. از معاوی روش‌های مذکور، می‌توان به بسیار ریز شدن شبکه‌بندی در نقاط با گرادیان بالای تنش اشاره کرد که در موارد خاص تأثیر اولیه‌ی روش‌های اشاره شده را در بهبود نتایج بسیار کاهش خواهد داد و یا در مسئله‌ی برای خطای مجاز، حد پایینی در نظر گرفته شده است، علی‌رغم اینکه تمام حوزه، تظریف نمی‌شود، ولی همان بخش‌هایی که تظریف می‌شوند، نیز به تعداد بالای المان جهت رسیدن به خطای مجاز نیاز خواهند داشت. در سال ۱۹۸۵، در راستای توسعه‌ی روش اجزاء محدود، روش عددی مبنی‌فراز (تحلیل تغییرشکل‌های ناپیوسته) است، ارائه شد.^[۳]

امروزه روش‌های عددی به عنوان راهکاری مؤثر برای تحلیل مسائل علمی شناخته می‌شوند. از جمله معروف‌ترین روش‌های عددی می‌توان به روش‌های: تقاضلهای محدود، احجام محدود، نقاط محدود و المان‌های محدود اشاره کرد. فرایند تولید شبکه‌ی اجزاء محدود با تعداد و نوع المان مناسب و نیز مرتبه‌ی استفاده شده برای هر المان از کالش‌های پیش رو در روش مذکور است. انتخاب گزینه‌ی مناسب با هدف کاهش هزینه‌های محاسباتی به منظور گسترش سازی و افزایش دقت حل معادلات حاکم بر مسئله از دیگر مسائل مورد اهمیت در روش مذکور است. به این منظور استفاده از عملیات تظریف در روش المان محدود استاندارد موردنویجه پژوهشگران قرار گرفته است.^[۴] در روش تظریف h ، ابتدا به وسیله‌ی تخمین‌زننده‌ی خطای حوزه، مسئله‌ی موردنظر جست‌وجو و نواحی با ناپیوستگی زیاد در نتایج شناسایی و سپس اصلاح مرتبط با میزان خطای کار گرفته می‌شود. در این ریشه رویکردهای مانند برآورده خطای نرم خطای ارزی و نرم خطای L_2 را می‌توان نام برد. روش‌های ذکر شده براساس نتایج به دست آمده از حل مسئله، توانایی تخمین خطای حاکم بر کل حوزه و تک‌تک المان‌ها را دارند. برخی از برآورده‌کننده‌های پس‌روندۀ خطای

* نویسنده مسئول

تاریخ: دریافت ۲۳/۰۲/۱۳۹۶، اصلاحیه ۳/۰۳/۱۳۹۶، پذیرش ۲۱/۰۴/۱۳۹۶ DOI:10.24200/J30.2018.2140.2106

تقریبی تنش برای یک المان طبق روش ارائه شده زینکویچ و همکاران (۱۹۸۷)،^[۲] به صورت رابطه‌ی ۱ بیان می‌شود:

$$e_i = \left[\int_{\Omega} (\sigma - \sigma_h)^T D^{-1} (\sigma - \sigma_h) d\Omega \right]^{\frac{1}{2}} \quad (1)$$

که در آن، σ تنش اصلاح شده، σ_h تنش بدست آمده از حل اجزاء محدود، D ماتریس کشسانی و Ω دامنه المان است. در نهایت، مجموع نرم خطای انرژی المان‌ها، نرم خطای انرژی کل دامنه را تشکیل می‌دهد (رابطه‌ی ۲):

$$e = \sum_{i=1}^{N_r} e_i \quad (2)$$

که در آن، e مقدار خطای برای کل حوزه و N_r تعداد کل المان‌هاست. به منظور ارائه‌ی معیاری برای مقایسه بین شبکه‌بندی‌های گوناگون از حالت نرمال شده خطای نسبت به انرژی کرنشی استفاده می‌شود. درصد خطای نسبی نرم انرژی با استفاده از حل تقریبی به صورت رابطه‌ی ۳ بیان می‌شود:

$$E = 100 \left(\frac{e}{U + e} \right)^{\frac{1}{2}} \quad (3)$$

که در آن، E درصد خطای نرم انرژی کل حوزه و U انرژی کرنشی کل حوزه است که به صورت رابطه‌های ۴ و ۵ محاسبه می‌شود:

$$U_i = \left(\int_{\Omega} \epsilon^T D \epsilon d\Omega \right)^{\frac{1}{2}} = \left(\int_{\Omega} \sigma^T D^{-1} \sigma d\Omega \right)^{\frac{1}{2}} \quad (4)$$

$$U = \sum_{i=1}^{N_r} U_i \quad (5)$$

که در آن، U انرژی کرنشی هر المان و U_i بردار کرنش گره‌ی برای هر المان هستند.

۳. حل تطبیقی در اجزاء محدود

چواب‌های اولیه‌ی به دست آمده با روش اجزاء محدود استاندارد، معمولاً تحت تأثیر هندسه‌ی مدل است و گرادیان‌های شدید در آن‌ها مشاهده می‌شود. ساده‌ترین راهکار برای حل مشکل گرادیان بالا، ریزکردن شبکه‌بندی و یا بالا بردن درجه‌ی تابع تقریب در تمام حوزه است که این امر افزایش هزینه‌ی محاسباتی را پیش رو خواهد داشت. بنابراین به صرفه است قسمت‌هایی از حوزه مسئله که گرادیان بالا در پاسخ‌های خود دارند، شناسایی و بررسی آن‌ها تظریف شبکه انجام شود و راهکار دیگر، استفاده از المان‌های قدرتمند است. از این رو استفاده از روش‌های تطبیقی مورد توجه بسیاری از پژوهشگران قرار گرفته است. تظریف تطبیقی راهکاری به منظور جلوگیری از افزایش بیش از اندازه‌ی درجه‌های آزادی، تعداد گره‌ها و تعداد المان‌های با مرتبه‌ی بالاست. به طورکاری روش‌های مختلفی برای حل تطبیقی در روش اجزاء محدود وجود دارد. در یک طبقه‌بندی متدائل، تظریف شبکه‌ی اجزاء محدود به صورت دو گروه کلی است: گروه اول، با افزایش تعداد درجه‌های آزادی به وسیله‌ی اضافه کردن گره‌های جدید (روش اصلاح h) و گروه دوم، با بالا بردن مرتبه‌ی المان‌های موجود (روش اصلاح P)، اقدام به اصلاح شبکه می‌کند. در نوشتار حاضر، از هر دو روش ذکر استفاده شده است. در ادامه، تشریح هر یک از دو روش به صورت خلاصه ارائه شده است.

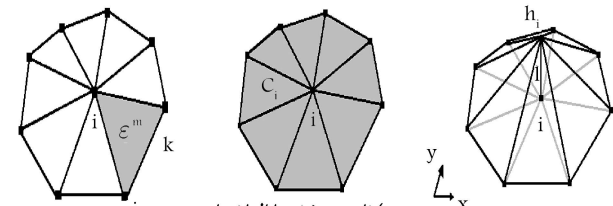
در برخی پژوهش‌ها،^[۴] فرمولاسیون روش منيفلد برای مسائل دوبعدی و سه بعدی و همچنین مسائل با تغییرشکل‌های ناپیوسته ارائه شده است. مدل سازی مسائل با ترک و نیز گسترش ترک در حوزه، نیز توسط پژوهشگران دیگری توسعه داده شده است.^[۷]

روش عددی منيفلد، یک روش مؤثر عددی برای حل مسائل در حوزه‌ی مکانیک جامدات است و در آن، شرایط مرزی و انتگرال‌گیری عددی به راحتی اعمال می‌شود. روش منيفلد برخلاف روش اجراء محدود استاندارد با مشکل کمپود مرتبه‌ی ماتریس سختی کل مواجه است. بعدها روش‌های مختلفی برای غلبه بر مشکل مذکور ارائه شده است.^[۹] یکی از جدیدترین روش‌ها با الهام از روش عددی منيفلد که در سال‌های اخیر معرفی شده است،^[۱۰] روش غنی‌سازی به وسیله‌ی توابع درون‌یاب پوشش است. در پژوهش‌های اخیر، به منظور بالا بردن نرخ همگرایی نتایج در روش پیشنهادی ایشان از شبکه‌بندی حوزه‌ی مسئله با المان‌های مرتبه‌ی پایین استفاده و نتایج آن برای المان‌های مثبتی ۳ گرهی و المان‌های هرمی ۴ گرهی در تحلیل‌های دوبعدی و سه بعدی ارائه شده است. مبنای روش مذکور، استفاده از اجزاء محدود غنی‌شده به وسیله‌ی توابع پوشش درون‌یاب بر روی هر المان بود که نتیجه‌ی آن افزایش نرخ همگرایی در پاسخ‌هاست. روش اخیر، قابلیت استفاده در المان‌های اعوجاجی را نیز دارد. تئوری کامل حاکم بر این روش در مراجعت اشاره شده قابل دسترسی است. در اولین مرحله‌ی معرفی روش ارائه شده در پژوهش‌های اخیر، علی‌رغم دست‌یابی به نتایج با دقت کافی، استفاده از توابع درون‌یاب با معایبی همراه بود که از جمله‌ی آن می‌توان به اعمال مرتبه‌ی توابع به صورت دستی، عدم در دسترس بودن تعیین معیاری برای بیان خطای بالا بردن درجه‌های آزادی و موارد مشابه را نام برد. در اقدام بعدی، تلاشی برای حل موارد ذکر شده ارائه شد، اما اصلاحات صورت گرفته، به تبدیل روش پیشنهادی ایشان برای تمام مسائل حوزه‌ی کشسانی منجر نشد. به عنوان نمونه، برای حل مسائل از همان ابتدا نیاز به شبکه‌ی تقریباً متراکمی بود، تا به وسیله‌ی آن از افزایش بی‌رویه‌ی مرتبه‌ی توابع درون‌یاب جلوگیری به عمل آید. مورد بسیار مهم دیگر، عدم ارائه فرمولاسیون جامع برای تمامی مسائل بود که به وسیله‌ی آن بتوان از مرتبه‌ی مناسب برای توابع درون‌یاب استفاده کرد.

نویسنگان نوشتار حاضر، بعد از بررسی مزایا و معایب روش استفاده از توابع درون‌یاب، به دنبال ارائه‌ی راهکاری برای حل تمام مسائل حوزه‌ی کشسانی به صورت خودکار بودند که معیار بیان خطای استاندارد برای گزینش المان‌ها را نیز داشته باشد و در ضمن سادگی روش‌هایی همچون تظریف، افزایش تعداد المان را نیز در خود جای دهد. خصوصیات روش پیشنهادی در بخش‌های آنی کاملاً ارائه شده است. از دیگر تلاش‌های صورت گرفته در راستای بالا بردن دقت نتایج در روش اجزاء محدود و در روش بدون شبکه که هر یک با رویکردی نوین به حل مسائل کشسانی می‌پردازند، می‌توان به روش‌های ارائه شده دیگری در سال‌های ۱۴، ۲۰، ۲۵ و ۳۰ اشاره کرد.^[۱۱-۱۳] در بخش دوم نوشتار حاضر، برآورده شده خطای المانی و نحوه تخمین خطای حوزه ارائه شده است. بخش سوم، مربوط به حل تطبیقی در روش اجزاء محدود؛ بخش چهارم، مربوط به توابع درون‌یاب پوشش؛ بخش پنجم، مربوط به الگوریتم روش پیشنهادی بوده و در بخش ششم، مثال‌هایی در حوزه‌ی مسائل کشسان بررسی شده است. در نهایت، مقایسه‌ی بین نتایج روش پیشنهادی و روش سایر پژوهشگران ارائه شده است.

۲. معیار خطای انرژی و درصد خطای نسبی حوزه

یکی از حالت‌های استاندارد برای بیان خطای نرم خطای انرژی است. نرم خطای انرژی



شکل ۱. توصیف نحوه ارتباط زیرحوزه های غنی شده با استفاده از توابع درون یاب پوشش.

چندجمله هایی با مرتبه p صورت می گیرد. مقدار درون یابی شده مجهول u در گره i با توجه به ناحیه پوششی گرهی i در رابطه 6 ارائه شده است:

$$(6) P^p[u] = u_i + \left[\bar{x}_i \quad \bar{y}_i \quad \bar{x}_i^* \quad \bar{x}_i \bar{y}_i \quad \bar{y}_i^* \quad \dots \right] a_i$$

که در آن، متغیرهای (\bar{x}_i, \bar{y}_i) بیانگر فاصله از گرهی i و بردار a_i نشان دهنده درجه های آزادی اضافی مرتبط با گرهی i در ناحیه پوششی c_i است. با توجه به توضیحات ارائه شده، تقریب غنی سازی پوششی مربوط به متغیر میدانی u برای یک المان به صورت رابطه 7 بیان می شود:

$$(7) u = \sum_{m=1}^r h_i u_i + H_i a_i$$

که در آن H_i از رابطه 8 بدست می آید:

$$(8) H_i = h_i \left[\bar{x}_i \quad \bar{y}_i \quad \bar{x}_i^* \quad \bar{x}_i \bar{y}_i \quad \bar{y}_i^* \quad \dots \quad \bar{y}_i^p \right]$$

با جمع مقادیر رابطه 7 برای گره های موجود در یک المان واحد گام رابطه های 7 و 8 ، رابطه 6 به صورت رابطه 9 بازنویسی می شود:

$$(9) u = \sum_{m=1}^r h_i P_i^p$$

به این ترتیب به جای استفاده از روش استاندارد درون یابی از روش درون یابی به وسیله $h_i P_i^p$ استفاده می شود که در آن P_i^p شامل مقادیر متدالوں متغیر میدانی i به اضافه درجه های آزادی مربوط به تابع پوشش است. برتری روش مذکور در آن است که علاوه بر مقادیر درون یابی به روش استاندارد می تواند با داشتن تابع غنی ساز پوشش به نتایج بهتری دست یابد.

یکی از مزایای اصلی روش درون یابی به وسیله i آن است که فقط در مناطقی که دقت موردنظر تأمین نشده است، به افزایش مرتبه تابع پوشش می بردارد و در نواحی که دقت موردنیاز تأمین می شود، نیازی به استفاده از تابع غنی ساز نیست. لازم به ذکر است که تعیین مرتبه تابع غنی ساز، اهمیت بالایی دارد و اگر این مرتبه برابر صفر در نظر گرفته شود، درون یابی اضافی صورت نمی گیرد و همان نتایج درون یابی اجزاء محدود استاندارد به دست خواهد آمد.

۵. الگوریتم روش پیشنهادی

در بخش حاضر، نحوه عملکرد روش پیشنهادی ارائه شده است. در مرحله ای نخست، ابتدا درصد خطای نسبی حوزه طبق توضیحات ارائه شده در بخش 2 ، تعیین

۱.۳. روش اصلاح شبکه h

در روش اصلاح شبکه h ، برای دست یابی به نتایج مطلوب، مرتبه المان ثابت است؛ ولی تعداد و ابعاد المان های موردنیاز به منظور گسترش اسازی حوزه محدود، تغییرات دارند. در یک شبکه ای اجزاء محدود، بعد از تعیین خطای هر المان، المان های با خطای بالاتر از محدودی مجاز شناسایی می شوند. در گام بعدی، المان های مذکور در فرایند تظریف قرار می گیرند. بدین منظور دو روش کالی تظریف تطبیقی و تظریف با المان بنده مجدد را می توان نام برد. برای روش تظریف تطبیقی، در هر مرحله موقعیت گره های موجود حفظ و تعدادی گرهی جدید در المان های شناسایی شده به حوزه محدود اضافه می شوند. در هر گام از روش تظریف با المان بنده مجدد، ابتدا تمامی المان های موجود حذف و حوزه محدود مجدد با تعداد بیشتری گره، که تمرکز آنها بر نواحی با خطای بالاتر است، گسترش اسازی می شود. در پژوهش حاضر، به منظور تظریف تطبیقی جهت اصلاح شبکه و تولید المان های جدید، روش شکستن بزرگ ترین راستا استفاده شده است. روش شکستن بزرگ ترین راستا برای تولید شبکه مجدد، اولین بار در سال ۱۹۷۵^[۱۰] ارائه شده و روشن مبتنی بر المان های مثلثی است. روش مذکور در سال های اخیر به دلیل سادگی و کارایی بالا، به دفعات در حوزه های گوناگون^[۱۱]^[۱۲] استفاده شده است.

۲.۳. روش اصلاح شبکه P

در روش اصلاح شبکه P ، ابعاد و تعداد المان ها ثابت است و اصلاح شبکه فقط از طریق افزایش مرتبه توابع تقریب، برای المان های با خطای بالاتر از حد مجاز صورت می پذیرد. در نوشتار حاضر از روش پیشنهاد شده بی در سال ۲۰۱۳^[۱۳]، جهت غنی سازی نقاط با خطای بیشتر از معیار تعیین شده استفاده شده است. در بخش 4 ، روابط حاکم بر روش اصلاح شبکه P (توابع غنی ساز پوشش) ارائه شده است.

۴. غنی سازی به روش تابع درون یاب پوشش

در بخش حاضر، به طور خلاصه، فرمولاسیون اجزاء محدود غنی شده با استفاده از تابع درون یاب پوشش برای المان های مرتبه i پایین اجزاء محدود توضیح داده شده است. اگر برای گسترش اسازی یک حوزه از شبکه بنده با المان های استاندارد استفاده شده باشد، دقت پاسخها به نوع و ابعاد المان وابسته خواهد بود. در غنی سازی به روش تابع درون یاب پوشش، برای هر گره یک زیرحوزه پوششی در نظر گرفته می شود. هر زیرحوزه با یک تابع درون یاب با مرتبه مشخص است. در زیرحوزه های پوششی، از تابع مرتبه i بالاتر نسبت به حالت استاندارد استفاده می شود که به دلیل درنظر گرفتن تأثیر گره های همسایه در یکدیگر، به حل هایی با دقت بالا منجر می شود. در شکل 1 .الف، تابع h_i ، تابع h_j و در سایر نقاط وابسته به گرهی i با مقدار آن در گرهی i برابر 1 و در سایر نقاط وابسته به گرهی i با مقدار h_j برابر صفر است و المان های متصل به گرهی i ، زیر حوزه گرهی i محسوب می شوند. استفاده از تابع خطی برای درون یابی زیرحوزه ها، تقریب های خطی با حجم کم محاسباتی و سرعت بالا را به دنبال خواهد داشت. ناحیه بی که برای گرهی i نتوسط تابع خطی h_i درون یابی می شود، ناحیه پوشش گرهی i نام نماییده و با c_i نمایش داده می شود (شکل 1 .ب). برای المان مثلثی m ، با 3 گرهی i ، j و k (شکل 1 .ج)، ناحیه پوششی المانی برای اشتراک بین نواحی پوشش های i ، j و k ، است. بعد از تعیین ناحیه پوشش گره ها، نوبت به درون یابی ناحیه های پوششی خواهد رسید. درون یابی با استفاده از

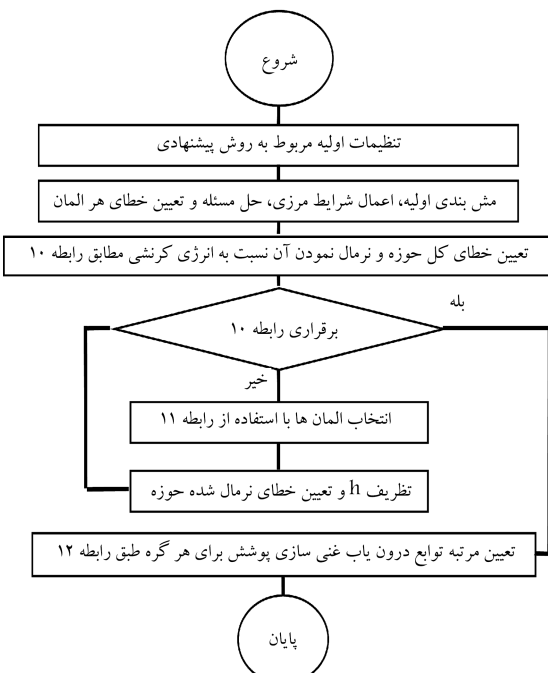
است. همان‌طور که اشاره شد، یکی از مزایای اصلی روش پیشنهادی، استفاده از تابع غنی‌سازی فقط در نواحی است که دقت موردنیاز آن تأمین نشده است. با توجه به میران دقت حاصل در هرگره از توابع پوشش غنی‌ساز با مرتبه‌های مختلف استفاده می‌شود. این کار از افزایش بی‌رویه‌ی حجم محاسباتی جلوگیری می‌کند و فقط در نواحی با خطای زیاد، دقت را افزایش می‌دهد.

۶. مثال‌های عددی

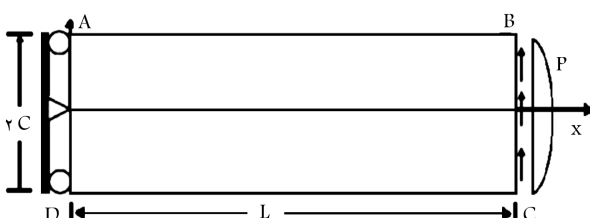
در بخش کنونی، دو مثال استاندارد دو بعدی کشسانی از نوشتار تیموشنکو و گودیر (۲۰۱۰^[۱۸]) با شرایط مرزی مرتبط ارائه و مطابق روش پیشنهادی نوشتار حاضر تحلیل شده‌اند. سپس نتایج حاصل با روش‌های سایر پژوهشگران مقایسه شده است. مثال اول، مربوط به تیر طره تحت بارگذاری در انتهای آزاد و مثال دوم، یک صفحه‌ی بی‌نهایت با سوراخ دایره‌بی‌ی در مرکز که تحت بارگذاری یکنواخت کششی در طرفین صفحه است.

۶.۱. مثال تیر طره تحت بارگذاری در انتهای آزاد

در مثال حاضر، یک تیر طره تحت اثر نیرو با توزیع سهمی‌گون در انتهای تیر و شرایط مرزی مطابق شکل ۳ بررسی شده است. جواب تحلیلی این مسئله، که توسط



شکل ۲. فلوچارت روش پیشنهادی.



شکل ۳. شرایط حاکم بر تیر طره تحت نیرو با توزیع سهمی‌گون در انتهای آزاد.

و در صورت بیشتر بودن درصد خطای نسبی از ۲۰٪، نیاز به تظریف شبکه‌بندی با استفاده از روش تظریف h است. در روش تعیین خطای با معیار انرژی (روش ارائه شده‌ی زینکویچ)^[۱۹]، مقدار ۱۰٪ به عنوان یک مقدار مرز معرفی شده است. در نوشتار حاضر، به دلیل استفاده‌ی ترکیبی از دو روش و بالا بردن کارایی روش نهایی، مقدار ۲۰٪ استفاده شده است که یکی از دلایل انتخاب آن، جلوگیری از افزایش بی‌رویه‌ی تعداد المان‌ها در روش تظریف h بوده است. در روش ترکیبی، فقط مشخص شدن اولیه‌ی زیرحوذه‌های باگرادیان بسیار بالا در پاسخ‌ها کافی است و نیازی به استفاده از حد مجاز پایین برای گزینش المان‌ها نیست. زیرا بعد از اتمام این مرحله از تظریف، به استفاده از توابع درون‌یاب توجه می‌شود و با همین تعداد کم المان اضافه شده از مرحله‌ی قبل، در بخش‌هایی از حوزه که خطای بسیار زیاد دارند، می‌توان از مراتب پایین‌تری برای توابع درون‌یاب پوششی استفاده کرد و در عین حال به نتایج کاملاً مطلوبی دست یافت. این موضوع یکی از مزایای مهم روش پیشنهادی است، که به رفع نقصی که در استفاده‌ی فقط از روش تظریف h وجود دارد، اشاره می‌کند و از افزایش تعداد المان برای گسترش‌سازی حوزه به طور قابل ملاحظه‌ی جلوگیری به عمل می‌آورد (رابطه‌ی ۱۰):

$$(10) \quad \text{if } E < ۰,۲۰ \rightarrow \text{stop } h - \text{refinement}$$

که در آن، E درصد خطای نسبی حوزه است که از رابطه‌ی ۳ به دست می‌آید. در صورت عدم برقراری رابطه‌ی ۱۰، اصلاح شبکه به روش تظریف h مورد نیاز است. به این منظور، ابتدا المان‌های با خطای بالاتر از مقدار تعیین شده در رابطه‌ی ۱۱٪ بزرگ‌ترین المان (شناصایی) و برای تولید المان‌های جدید (روش شکستن بزرگ‌ترین راستا) استفاده می‌شوند. بعد از تولید المان‌های جدید، مجدداً برقراری رابطه‌ی ۱۰ برای شبکه‌بندی به دست آمده بررسی می‌شود. در صورت برقراری رابطه‌ی ۱۰، برای کل حوزه‌ی مسئله، روش تظریف h متوقف می‌شود و در غیر این صورت باز دیگر با استفاده از رابطه‌ی ۱۱، المان‌های موجود گزینش و تظریف شبکه ادامه خواهد یافت. این روند تا برقراری رابطه‌ی ۱۰ بر روی کل حوزه‌ی مسئله تکرار می‌شود:

$$(11) \quad \text{if } e_i > ۰,۵ \times \max(e_j) \rightarrow \text{element } i^{\text{th}} \text{ select for } h - \text{refinement}$$

عبارت $\max(e_j)$ ، بیانگر بزرگ‌ترین مقدار خطای المانی در حوزه‌ی مورد بررسی است. در گام بعدی، روش پیشنهادی به دنبال استفاده از روش تظریف با استفاده از توابع غنی‌سازی پوشش است. لذا ابتدا با درون‌یابی مقادیر خطای المانی و تعیین آن به گره‌ها، خطای تمامی گره‌ها تعیین می‌شود. سپس با توجه به شرایط ارائه شده در رابطه‌ی ۱۲، مرتبه‌ی توابع درون‌یاب غنی‌سازی پوشش مرتبط با هر گره تعیین و در غنی‌سازی استفاده می‌شود:

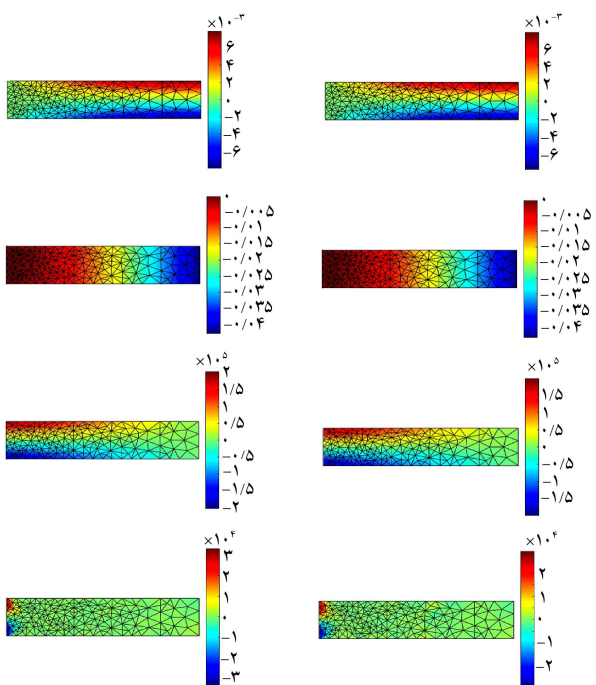
$$(12) \quad \text{if } \begin{cases} n_i \leq ۰,۳ \times \gamma \rightarrow p = ۰ \\ ۰,۳ \times \gamma < n_i \leq ۰,۶ \times \gamma \rightarrow p = ۱ \\ ۰,۶ \times \gamma < n_i \leq ۰,۸ \times \gamma \rightarrow p = ۲ \\ n_i > ۰,۸ \times \gamma \rightarrow p = ۰ \end{cases}$$

که در آن، مقدار n_i بیانگر خطای گرهی نام، γ برابر ۵۰٪ بزرگ‌ترین خطای گره‌بندی موجود، و p مرتبه‌ی تابع غنی‌سازی پوشش برای گره مورد بررسی است. در شکل ۲، فلوچارت روش پیشنهادی در نوشتار حاضر به منظور درک بهتر موضوع ارائه شده

مختلف جهت غنی‌سازی استفاده کند. مرتبه‌های تابع پوشش در نوشتار حاضر، بین ۰ تا ۳ هستند. درجه‌ی تابع غنی‌ساز متناسب با میزان خطای محاسبه شده انتخاب می‌شود. این روش می‌تواند بدون افزایش بی‌رویه‌ی حجم محاسبات، خطای را فقط در مناطقی که به میزان مطلوب دقت نرسیده‌اند، کاهش دهد. در واقع توابع غنی‌ساز فقط به این نقاط افزوده می‌شوند.

نتایج مربوط به حل مسئله‌ی ذکر شده در شکل ۵ مشاهده می‌شود. ستون ۱، مربوط به شبکه‌بندی ارائه شده در شکل ۴ (آخرین مرحله‌ی تظریف h) و مقادیر ستون ۲ مربوط به شبکه‌بندی ارائه شده در شکل ۴، همراه با اعمال توابع درون‌یاب غنی‌سازی پوشش است. در شکل‌های ۱۵ و ۱۶: تغییرمکان در جهت x ، در شکل‌های ۱۷ و ۱۸: تغییرمکان در جهت y ، در شکل‌های ۱۹ و ۲۰: توزیع تنش در جهت x و در شکل‌های ۲۱ و ۲۲: توزیع تنش در جهت y ارائه شده است. در ستون ۱ از شکل ۵ جواب‌های به دست آمده در حوزه‌ی مجاز خطای تعیین شده برای گام اول قرار گرفته‌اند. در گام بعدی که مربوط به نتایج ستون ۲ از شکل ۵ است، روش پیشنهادی به دنبال دست‌یابی به جواب‌هایی با دقت بسیار بالاست و برای رسیدن به این امر، از روش دوم که استفاده از توابع غنی‌سازی درون‌یاب پوشش است، استفاده می‌کند.

در شکل‌های ۲۱ و ۲۲، به‌منظور نمایش بهتر اثر روش پیشنهادی بر روی اصلاح میدان تغییرمکانی حاکم بر حوزه‌ی مسئله به ترتیب تغییرمکان قائم و تغییرمکان افقی مربوط به راستای بالایی تیر طره (راستای AB طبق شکل ۳) ارائه شده است. در شکل‌های مذکور، روند بهبود نتایج در طی حل مسئله با روش پیشنهادی به وضوح نمایان است. ابتدا جواب به دست آمده از اجزاء محدود استاندارد با تعداد درجه‌های آزادی پایین‌تر نمایش داده شده است. سپس دو مرحله‌ی تظریف به روش h در جهت کاهش خطای حاکم بر حوزه، که در معادله‌ی ۱۱ معرفی شد، انجام و شرایط معادله‌ی مذکور ارضاء شده است. در انتها، با استفاده از توابع غنی‌ساز پوشش، مجدداً به اصلاح نتایج موجود تحت شرایط معادله‌ی ۱۲ پرداخته شده



شکل ۵. نتایج مربوط به مثال سوم.

تیموشنکو و گودیر معرفی شده است.^[۱۸] در روابط ۱۳ الی ۱۸ ارائه شده است.

$$u = (Py/6EI)[3x(2L-x) + (2+v)(y^* - c^*)] \quad (13)$$

$$V = (Py/6EI)[x^*(3L-x) + 3v(L-x)y^* + (4+5v)c^*x] \quad (14)$$

$$\sigma_x = -Py(L-x)/I \quad (15)$$

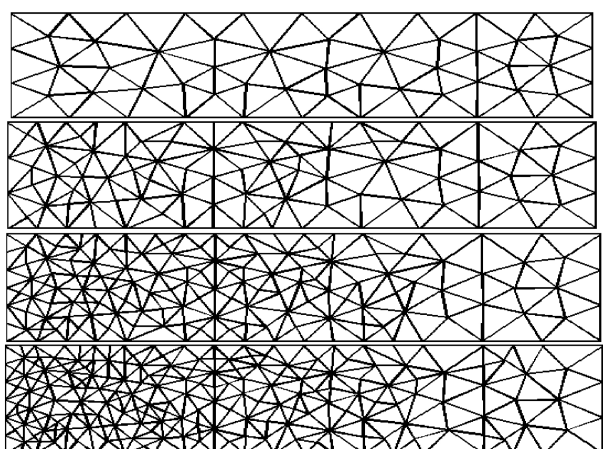
$$\sigma_y = 0 \quad (16)$$

$$\tau_{xy} = P(c^* - y^*)/2I \quad (17)$$

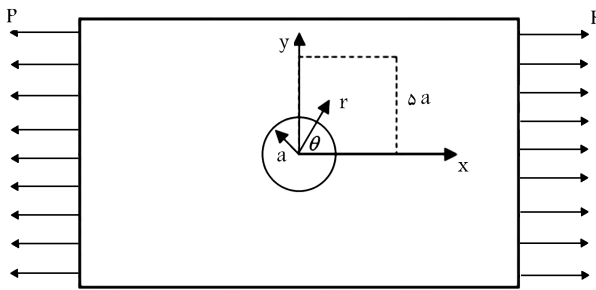
$$I = 2c^*/3 \quad (18)$$

در مرز سمت راست بار متمرکز با توزیع سهمی‌وار در جهت y وارد شده و در جهت x تنش مساوی صفر است. دو مرز بالا و پایین، مرزهای بدون تنش و در مرز سمت چپ شرط مرزی تغییرمکانی با استفاده از جواب تحلیلی منظور شده است. این مسئله با درنظر گرفتن شرایط تنش صفحه‌یی و با فرض پواسون $\nu = 0.3$ (میلی‌پاسکال)، $L = 2.4$ (متر)، $P = 1000$ (پاسکال)، $E = 10000$ (پاسکال) و ضریب اولیه و در شکل‌های ۴، ۵ و ۶ تا ۱۰ تا ۱۲ توانی مراحل تظریف به روش h مشاهده می‌شود.

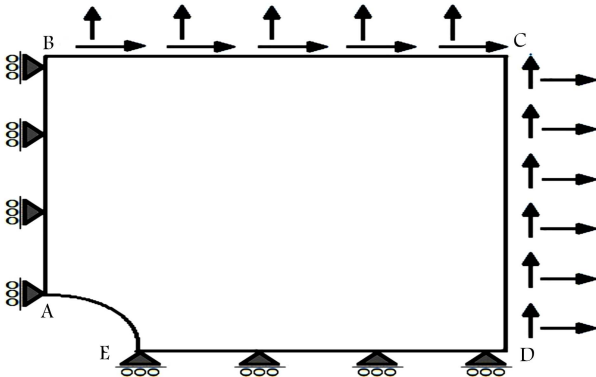
مطابق فلوچارت شکل ۲، بعد از تعیین خطای مقایسه‌ی شرایط موجود در معادله‌ی ۱۱، المان‌های با خطای بالاتر از حد مجاز شناسایی می‌شوند. سپس اصلاح شبکه‌بندی با استفاده از روش تظریف h صورت می‌پذیرد. این تغییرات در شبکه‌بندی را می‌توان از مقایسه‌ی شبکه‌ی شکل ۴ ب نسبت به شکل ۴ افقی مشاهده کرد. این روند تا ارضاء معادله‌ی ۱۰ ادامه می‌باشد. مرحله‌ی نهایی و پایانی شبکه‌بندی در شکل ۴ د مشاهده می‌شود. در این مرحله، استفاده از روش تظریف h متوقف می‌شود. در گام بعدی، استفاده از روش غنی‌سازی P ارائه شده در قسمت ۴ وارد فرایند تظریف می‌شود. در این گام، ابتدا با درون‌یابی مقادیر خطای المانی و تعیین آن به مقادیر گرهی، گره‌های با خطای بالاتر از حد مجاز شناسایی و با توجه به شرایط ارائه شده در معادله‌ی ۱۲، مرتبه‌ی توابع درون‌یاب غنی‌سازی پوشش مرتبط با گره‌های مذکور تعیین و در غنی‌سازی استفاده می‌شود. همان‌طور که قبل مطرح شد، روش غنی‌سازی P می‌تواند در نقاط مختلف از توابع پوشش با مرتبه‌های



شکل ۶. شبکه‌بندی‌های ارائه شده طی روند حل مسئله به روش پیشنهادی.



شکل ۸. صفحه با سوراخ دایره‌بی، تحت اثر بار محوری گستردگی.



شکل ۹. شرایط مرزی اعمال شده برای صفحه با سوراخ دایره‌بی.

مرزی و نیرویی در شکل ۹ نشان داده شده است. برای مرزهای **AB** و **ED** شرط تقارنی، برای مرز **AE** شرط فیزیکی بدون تنفس بار و برای مرزهای **BC** و **CD** شرط مرزی تنفسی به دست آمده از جواب دقیق مسئله استفاده شده است. جواب تحلیلی دقیق این مسئله که توسط تیموشنکو و گودیر ارائه شده است،^[۱۸] در روابط ۱۹ الی ۲۴ ارائه شده است.

$$u_r = \frac{t}{4G} \left[r \left(\frac{k-1}{2} + \cos(2\theta) \right) + \frac{c^r}{r} (1 + (1+K) \cos(2\theta)) - \frac{c^r}{r^2} \cos(2\theta) \right] \quad (19)$$

$$u_\theta = \frac{t}{4G} \sin(2\theta) \left[(1-k) \frac{c^r}{r} - r - \frac{c^r}{r^2} \right] \quad (20)$$

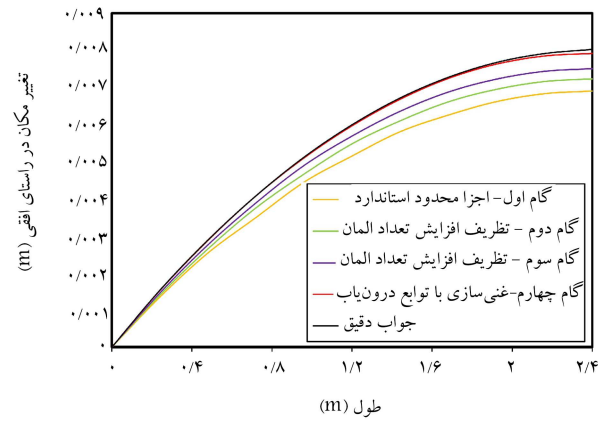
$$\sigma_x = t \left[1 - \frac{c^r}{r^2} \left(\frac{3}{2} \cos(2\theta) + \cos(4\theta) \right) + \frac{3c^r}{2r^4} \cos(4\theta) \right] \quad (21)$$

$$\sigma_y = - \left[\frac{c^r}{r^2} \left(\frac{1}{2} \cos(2\theta) - \cos(4\theta) \right) \cos(4\theta) + \frac{3c^r}{4r^4} \cos(4\theta) \right] \quad (22)$$

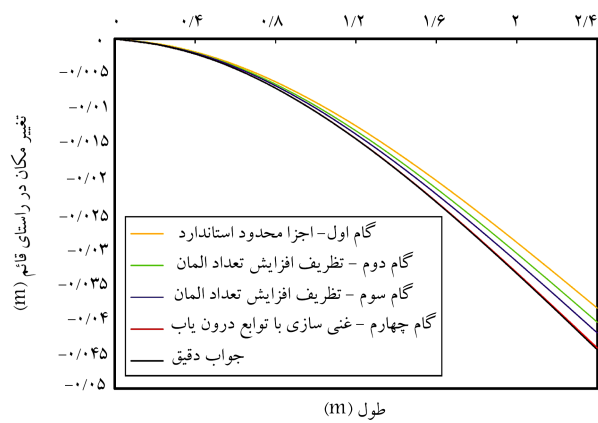
$$\tau_{xy} = -t \left[\frac{c^r}{r^2} \left(\frac{1}{2} \sin(2\theta) - \sin(4\theta) \right) - \frac{3c^r}{4r^4} \sin(4\theta) \right] \quad (23)$$

$$k = (\nu - \nu) / (1 + \nu) \quad (24)$$

که در آنها، ν ضریب پواسون و G مدول برشی هستند. در این مسئله مقدار مدول کشسانی $E = 1 \times 10^3 \text{ Pa}$ شدت بار وارد $t = 1 \text{ N/m}$ است، ضریب پواسون $\nu = 0.3$ و شعاع قسمت دایره‌بی شکل $a = 1 \text{ m}$ است. در شکل ۱۰، شبکه‌بندی‌های ارائه شده طی روند حل مسئله به روش پیشنهادی ارائه شده است.



شکل ۶. نتایج مربوط به تغییر مکان افقی راستای بالای تیر طره.



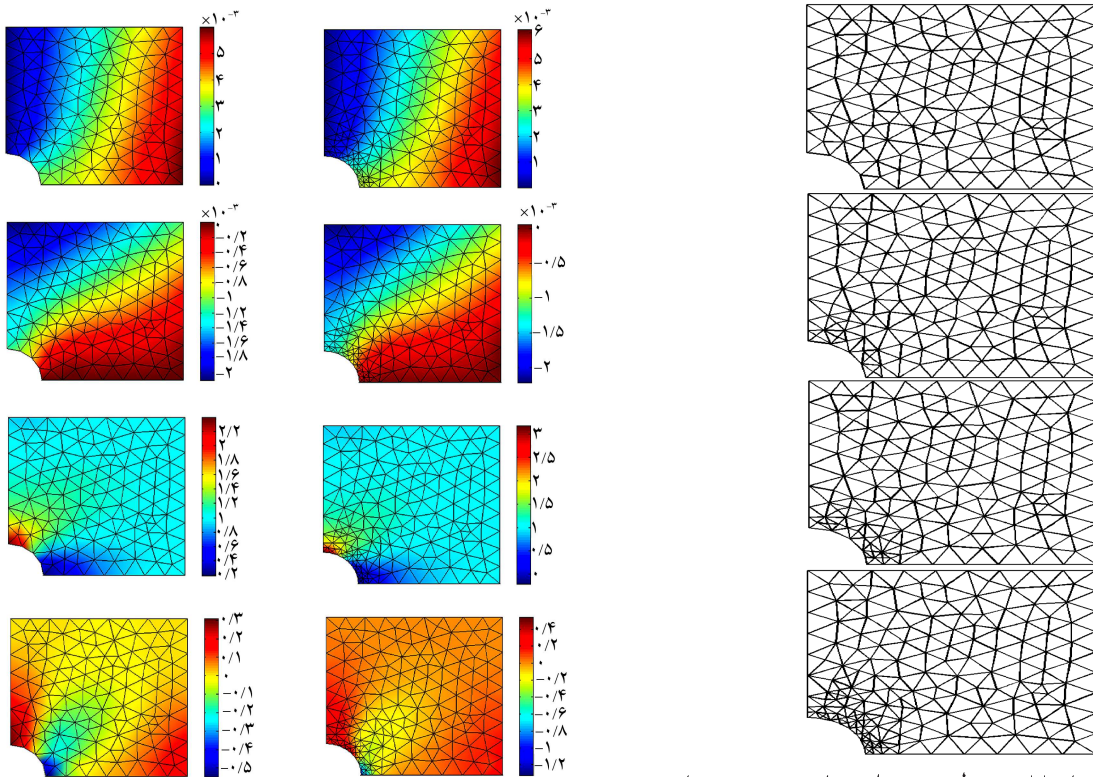
شکل ۷. نتایج مربوط به تغییر مکان قائم راستای بالای تیر طره.

و نتیجه‌ی آن دست‌یابی به جواب‌های با دقت بالا و کیفیت بسیار مناسب بوده است.

با توجه به نتایج به دست آمده از شکل ۵ مشاهده می‌شود که به وسیله‌ی دو راهکار مجزا ولی مرتبط، جواب‌های به دست آمده از حل مسئله اصلاح شده است. در کانتورهای نشان داده شده در ستون ۱ شکل ۵، نتایج آخرین مرحله‌ی تغیری به روش h و در ستون ۲، نتایج مربوط به روش درون‌یاب غنی‌ساز پوشش ارائه شده است. روش پیشنهادی برای دست‌یابی به نتایج نمایش داده شده در شکل ۵، ابتدا با درجه‌ی آزادی کمتر مسئله را تحلیل کرده و سپس با تمرکز بر نواحی با خطای زیاد به اصلاح شبکه‌بندی پرداخته است. نتیجه‌ی این رفتار در ستون ۱ شکل ۵ مشاهده می‌شود. این عمل دست‌یابی به توزیع بهتر کیمیت مورد بررسی (تغییر مکان - نتش) را در پی داشته است. این تذکر لازم است که برای رسیدن به جواب‌های ذکر شده، فقط زیر حوزه‌های با خطای بالاتر از حد مجاز اصلاح شده‌اند و به همین دلیل از افزایش بی‌رویه‌ی درجه‌های آزادی جلوگیری شده است. این موضوع یکی از مزایای اصلی روش پیشنهادی است و در کاهش حجم محاسباتی، تأثیر به سزا دارد.

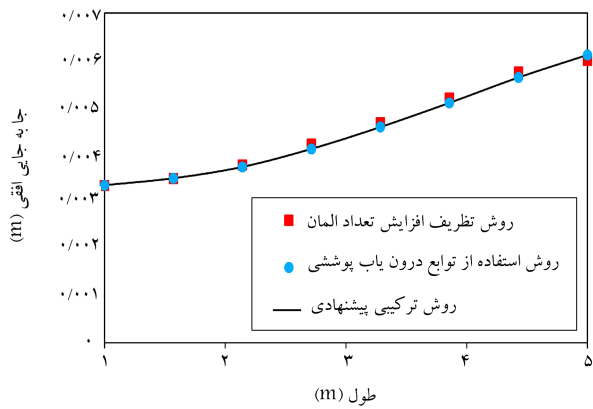
۲.۶. صفحه‌ی بی‌نهایت با سوراخ مرکزی

در مثال کنونی، یک صفحه‌ی بی‌نهایت با سوراخ دایره‌بی که تحت اثر نیروی گستردگی t قرار دارد، حل شده است. (شکل ۸) به دلیل بی‌نهایت بودن صفحه و با توجه به شرایط تقارنی فقط یک‌چهارم از ناحیه به ابعاد $5a$ مدل شده است. شرایط

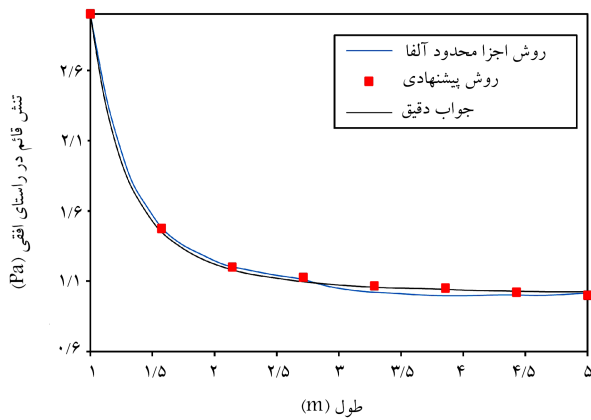


شکل ۱۰. شبکه‌بندی‌های ارائه شده طی روند حل مسئله به روش پیشنهادی.

شکل ۱۱. نتایج مربوط به مثال اول.



شکل ۱۲. نتایج مربوط به تغییرمکان افقی لبه‌ی پایینی صفحه.



شکل ۱۳. نتایج مربوط به تنش قائم در راستای افقی در لبه‌ی سمت چپ صفحه.

شکل ۱۰الف، شبکه‌بندی اولیه با تعداد درجه‌های آزادی کم برای شروع حل مسئله به منظور گسترش سازی حوزه و شکل ۱۰د، فرایند تکمیل شده تظریف h را نمایش می‌دهند.

نتایج مربوط به حل مسئله‌ای ذکر شده در شکل ۱۱ مشاهده می‌شود. مقادیر ستون ۱ مربوط به شبکه‌بندی ارائه شده در شکل ۱۰الف (جواب اجزاء محدود) و مقادیر ستون ۲ مربوط به شبکه‌بندی ارائه شده در شکل ۱۰د با اعمال تظریف h و توابع درون یاب غنی‌سازی هستند. لازم به ذکر است که نتایج مذکور بهترین جواب‌های بدست آمده از روش پیشنهادی هستند. در شکل‌های ۱۱الف و ۱۱ب: تغییرمکان در جهت x ، در شکل‌های ۱۱ج و ۱۱د: تغییرمکان در جهت y ، در شکل‌های ۱۱زو ۱۱ز: توزیع تنش در جهت x و در شکل‌های ۱۱ج و ۱۱خ: توزیع تنش در جهت y ارائه شده‌اند.

در شکل ۱۲، نتایج مربوط به روش پیشنهادی، روش استفاده‌ی فقط از توابع پوششی و روش تظریف h به تنهایی برای تغییرمکان قائم راستای بالای تیر مشاهده می‌شود که مطابق آن هر سه روش به نتایج قابل قبولی دست یافته‌اند؛ اما با این تفاوت که در روش تظریف h با استفاده از ۷۸۳ المان و در روش توابع درون یاب با استفاده از بهکارگیری مرتبه‌ی ۳ برای تمامی گره‌های تشکیل‌دهنده‌ی حوزه به این نتایج رسیده‌اند و این در حالی است که روش ترکیبی اصلاح شده فقط از ۳۲۴ المان و اختصاص مرتبه‌های ۳ و ۲ به ترتیب به ۱۰ و ۳۰ درصد گره‌های تشکیل‌دهنده‌ی حوزه به نتایج ذکر شده دست یافته است. به منظور مقایسه‌ی روش پیشنهادی با روش سایر پژوهشگران، در شکل ۱۳ نتایج مربوط به تنش در راستای افقی برای لبه‌ی سمت چپ مثال موردنظر بررسی شده است. میانی و قوانین حاکم بر روش $A\alpha$ -FEM در پژوهشی در سال ۲۰۱۰ ارائه شده است.^[۱۹] روش $A\alpha$ -FEM با درجه‌ی آزادی ۷۸۴ و روش پیشنهادی با درجه‌ی آزادی کل برابر با ۷۵۰ بوده‌اند.

۷. نتیجه‌گیری

از مزایای روش پیشنهادی در نوشتار حاضر، می‌توان استفاده از نرم استاندارد تعیین خط، روش تولید مش تطبیقی، فراگیر بودن آن برای تعداد بسیار زیادی از مسائل دوبعدی در حوزه‌ی کشسان که پیچیدگی‌های شدید در حوزه‌ی خود دارند و از همه مهم‌تر اتوماتیک بودن آن برای هر دو مرحله‌ی تظریف h و تعیین مرتبه‌ی توابع درون‌باب غنی‌سازی پوشش اشاره کرد که با استفاده از روش پیشنهادی می‌توان تلاش محاسباتی را به میزان قابل ملاحظه‌ی کاهش و دقت نتایج نهایی تحلیل را تا حد بسیار مطلوبی افزایش داد. برای نمایش عملکرد روش پیشنهادی، حل چند مسئله‌ی مختلف ارائه شده است.

در مطالعات پایه‌ی مورد مقایسه در نوشتار حاضر، از یک منطق برای تعیین شرایط حاکم بر روش موردنظر خود استفاده شده است که فقط برای حل یک مسئله‌ی مناسب است و باید در هر مسئله‌ی با توجه به وضعیت موجود و شرایط حاکم محاسبه شود. در پژوهش حاضر تلاش شد تا در گام نخست از تعداد المان کمتر استفاده و بعد از آن یک شاخص واحد و قابل تعیین برای تعیین مرتبه‌ی تابع پوشش غنی‌ساز معرفی شود. در واقع هدف نوشتار حاضر، ارائه‌ی روشی برای حل اتوماتیک فرایندهای محاسباتی بوده است که معايیت ذکر شده در بخش مقدمه‌ی نوشتار حاضر مربوط به روش‌های پیشین را مرتفع سازد. از مهم‌ترین موارد اشاره شده، می‌توان به جلوگیری از افزایش بی‌رویه‌ی تعداد المان‌ها نسبت به فقط روش تظریف h و نیز استفاده از مراتب کمینه برای مرتبه‌ی توابع درون‌باب پوششی اشاره کرد. در نتایج ارائه شده در بخش‌های پیشین، بهبود میدان تنش و جایه‌جایی حاکم بر حوزه‌ی مسئله به وضوح قابل رویت است. بررسی نتایج حل مثال‌های استاندارد و نتایج سایر پژوهشگران، حکایت از کارایی خوب روش پیشنهادی دارد. مقایسه‌ی نتایج مثال‌های پژوهش حاضر با روش‌های دیگر پژوهشگران، حکایت از تأمین دقت کافی موردنیاز با درجه‌های آزادی متعارف در روش اجزاء محدود دارد.

در روش اجزاء محدود استاندارد هیچ‌گونه ابزاری به جز قضاوت مهندسی، برای تعیین مناسب بودن تعداد و اندازه‌ی المان به منظور افزایش دقت پاسخ‌ها، در دسترس مهندسان نیست و انتخاب اندازه‌ی المان بیشتر براساس توصیه‌های داده شده صورت می‌گیرد که هر کدام نقص‌هایی دارند و نمی‌توانند برای تمامی مسائل در حوزه‌ی کشسان و فضای دو بعدی استفاده شوند. به عنوان مثال، ریزکردن یکواخت شبکه، یکی از توصیه‌هایی است که علی‌رغم حصول نتایج مناسب، از نقطه‌نظر هزینه‌ی محاسباتی به هیچ عنوان توصیه نمی‌شود. در نوشتار حاضر، سعی شده است تا با معرفی روشی ترکیبی برای چالش پیش رو پاسخ مناسبی ارائه شود. به این منظور ابتدا تخمین خطای روش نمره L_2 معرفی و سپس، دو روش برای اصلاح شبکه‌بندی و بالا بردن دقت پاسخ‌های موجود استفاده شده است. روش اول، استفاده از روش تظریف h در جهت تغییرات در شبکه به صورت تطبیقی است. روش تظریف h ، نواحی با خطای بالاتر از محدوده‌ی مجاز را شناسایی و با استفاده از روش شکستن بزرگ‌ترین راستا که منجر به افزایش تعداد المان در آن ناحیه می‌شود، اقدام به اصلاح تحلیل می‌کند. این روند تا برقراری رایطه‌ی مربوط به کنترل خطای ادامه می‌باید. روش دوم، استفاده از توابع درون‌باب پوشش به عنوان یک ابزار قوی برای غلبه بر محدودیت‌های روش اجزاء محدود است. در این مرحله برای هر گرهی موجود در حوزه، مرتبه‌ی تابع درون‌باب پوشش استخراج و در ادامه، فرایند حل مسئله استفاده شده است. در محاسبات انجام شده، مختصات گرهی نقاط تغییر نمی‌کنند، بلکه با استفاده از روش اول در نواحی با دقت پایین، به صورت تطبیقی نقاط جدید وارد حوزه‌ی مسئله می‌شوند و پس از حصول شبکه‌بندی مناسب با استفاده از روش دوم، نتایج حل مسئله به دقت بسیار بالایی خواهد رسید.

منابع (References)

1. Zienkiewicz, O.C. "Achievements and some unsolved problems of the finite element method", *International Journal for Numerical Methods in Engineering*, **47**(1-3), pp. 9-28 (2000).
2. Babuška, I., Zienkiewicz, O.C., Gago, J. and et al., *Accuracy Estimates and Adaptive Refinements in Finite Element Computations*, John Wiley & Sons, 408 p. (1986).
3. Zienkiewicz, O.C. and Zhu, J. Z. "A simple error estimator and adaptive procedure for practical engineering analysis", *International Journal for Numerical Methods in Engineering*, **24**(2), pp. 337-357 (1987).
4. Shi, GH., *Block System Modeling by Discontinuous Deformation Analysis*, Southampton, UK, Computational Mechanics Publications, 209 p. (1993).
5. Liu, J., Kong, X. and Lin, G. "Formulations of the three-dimensional discontinuous deformation analysis method", *Acta Mech. Sin.*, **20**(3), pp. 270-282 (2004).
6. Grayeli, R. and Mortazavi, A. "Discontinuous deformation analysis with second-order finite element meshed block", *Int. J. Numer. Anal. Methods Geomech.*, **30**(15), pp. 1545-1561 (2006).
7. Guowei, M.A., Xinmei, An. and Lei, He. "The numerical manifold method: A Review", *International Journal of Computational Methods*, **07**(01), pp. 1-32 (2010).
8. Zhang, H.H., Li, L.X., An, X.M. and Ma, G.W. "Numerical analysis of 2-D crack propagation problems using the numerical manifold method", *Engineering Analysis with Boundary Elements*, **34**(1), pp. 41-50 (2010).
9. Ghasemzadeh, H., Ramezanpour, M.A. and Bodaghpoor, S. "Dynamic high order numerical manifold method based on weighted residual method", *International Journal for Numerical Methods in Engineering*, Published online in Wiley Online Library (2014).
10. Kim, J. and Bathe, K.J. "The finite element method enriched by interpolation covers", *Comput. Struct.*, **116**, pp. 35-49 (2013).
11. Kim, J. and Bathe, K.J. "Towards a procedure to automatically improve finite element solutions by interpolation covers", *Computers & Structures*, **131**, pp. 81-97 (2014).

12. Jeon, H.-M., Lee, Ph.-S. and Bathe, K.-J. "The MITC3 shell finite element enriched by interpolation covers", *Computers & Structures*, **134**, pp. 128-142 (2014).
13. Arzani, H., Kaveh, A. and Dehghana, M. "Adaptive node moving refinement in discrete least squares meshless method using charged system searc", *Scientia Iranica. Transaction A, Civil Engineering*, **21**(5), pp. 1529-1538 (2014).
14. Zeng, W., Liu, G.R., Li, D. and Dong, X.W. "A smoothing technique based beta finite element method (âFEM) for crystal plasticity modeling", *Computers & Structures*, **162**, pp. 48-67 (2016).
15. Rosenberg, I.G. and Stenger, F. "A lower bound on the angles of triangles constructed by bisecting the longest side", *Math. Comp.*, **29**, pp. 390-395 (1975).
16. Plaza, A., Padron, M.A. and Surez, J.P. "Non-degeneracy study of the 8-tetrahedra longest-edge partition", *Applied Numerical Mathematics*, **55**(4), pp. 458-472 (2005).
17. Yershov, D.S. and Fazzoli, E. "Asymptotically optimal feedback planning using a numerical Hamilton-Jacobi-Bellman solver and an adaptive mesh refinement", *Int. J. Rob. Res.*, **35**(5), pp. 565-584 (2016).
18. Timoshenko, S. and Goodier, J.N., *Theory of Elasticity*, 3th ed., New York, McGraw- Hill book (1970).
19. Nguyen-Thanh, N., Rabczuk, T., Nguyen-Xuan, H.S. and et al. "An alternative alpha finite element method (AFEM) for free and forced structural vibration using triangular meshes", *Journal of Computational and Applied Mathematics*, **233**, pp. 2112-2135 (2010).